

SOC 설계 자동화를 위한 동적인 하드웨어 할당 및 바인딩 알고리즘

A Dynamic Hardware Allocation and Binding Algorithm for SOC Design Automation

엄경민* 인치호**
(Kyung-Min Eom) (Chi-Ho Lin)

요 약

본 논문에서는 SOC 설계 자동화를 위한 할당 및 바인딩을 동시에 수행하는 새로운 동적인 하드웨어 할당 및 바인딩 알고리즘을 제안한다.

제안된 알고리즘은 스케줄링의 결과를 입력으로 받아들이고, 각 기능 연산자에 연결된 레지스터 및 연결 구조가 최대한 공유하도록 제어스텝마다 연산과 기억 소자의 상호 연결 관계를 고려하여 기능 연산자, 연결 구조 및 레지스터를 동시에 할당 및 바인딩을 한다.

제안된 알고리즘은 각 시스템마다 비교 실험을 통하여 기존의 기능 연산자와 레지스터의 수를 미리 정했거나, 분리하여 수행한 방식들과 비교함으로써 제안된 알고리즘의 효용성을 보인다.

Abstract

This paper proposes a new dynamic hardware allocation and binding algorithm of a simultaneous allocation and binding for SOC design automation.

The proposed algorithm works on scheduled input graph and simultaneously allocates binds functional units, interconnections and registers by considering interdependency between operations and storage elements in each control step, in order to share registers and interconnections connected to functional units, as much as possible.

This paper shows the effectiveness of the proposed algorithm by comparing experiments to determine number of function unit in advance or by comparing separated executing allocation and binding of existing system.

Key words: Allocation, binding, register, functional unit, interconnection

I. 서 론

최근 휴대폰을 비롯한 각종 유무선 통신기기, 디지털TV, 게임기, 소비자 가전, 자동차 등 각종 디지털

정보기기들의 인터넷 접속과 각종 기능이 다양화되면서 이를 원활하게 구현하기 위한 반도체 칩의 수요가 증가하고 있다. 특히 디지털 컨버전스 환경에 따라 하나의 정보기기 안에 다양한 기능을 포함

* 주저자 : 세명대학교 대학원 박사과정
** 공저자 및 교신저자 : 세명대학교 컴퓨터학부 교수
† 논문접수일 : 2010년 4월 21일
‡ 논문심사일 : 2010년 5월 20일
‡ 게재확정일 : 2010년 5월 22일

하게 되면서 제품의 융합현상이 나타나고 있다. 이와 같은 추세에 따라 다양한 기능을 제어할 수 있는 여러 부품을 하나의 반도체 칩에 집적시킨 SOC(System On a Chip)가 핵심 요소로 등장하고 있다. 특수 목적 및 소량 생산이 요구되는 SOC 산업 전반에 걸쳐 제품의 소형화와 고급화의 필수적인 요건이 되고 있기 때문에 집적회로 설계에서 제작에 이르는 회송(turn around) 시간의 단축과 비용의 감소를 위해 CAD 기술은 필수적이다[1]. 또한 설계할 IC 칩의 동작 기술로부터 칩 제조를 위한 마스크(mask) 도면을 자동으로 생산하는 설계자동화(design automation)는 CAD(Computer-Aided Design) 기술의 최종 목표이다[2-4].

현재 RT레벨의 회로 기술로부터 게이트 레벨의 회로를 설계하는 과정의 논리 설계나[5], 테크놀로지 라이브러리로부터 매핑된 각 회로소자를 배치(placement), 배선(routing)하여 칩 제조를 위한 마스크 도면을 생성하는 단계의 레이아웃 설계 자동화의 많은 연구가 진행되어 상용화되고 있다[6]. 그러나 SOC의 집적도와 복잡도의 증가에 따라 짧은 설계 시간, 설계 초기단계에서 칩의 성능 평가에 따른 다양한 설계, 자동화에 의한 디버깅 시간 단축 및 적은 오류, 설계과정에 대한 다큐멘테이션 등의 특징을 가진 상위 레벨 합성에 대한 연구가 미비한 실정이다[7-8].

상위 레벨 합성의 궁극적인 목적은 원하는 기능의 동작 기술을 주어진 비용 함수 값이 최소가 되도록 주어진 하드웨어 소자로 구현하는 것이다. 그래서 상위 레벨 합성을 정의하자면 설계하고자하는 시스템의 동작 기술로부터 주어진 제한 조건과 목적 함수를 만족하는 레지스터 전송(register-transfer)레벨의 구조를 생성하는 단계이다. 프로세서 스케줄링, 할당은 뱀인딩으로 구성된다. 스케줄링(scheduling)은 동작기술에서 연산(operation)들을 특정한 제어시스템에 할당하는 과정이다[9]. 그러나 응용 분야에 따라 스케줄링 과정에서 고려해야 할 항목들(조건 분서 스파이프라인 스트루프 등)이 많기 때문에 제한적인 응용분야에 대한 해를 구하는 알고리즘들이 개발되어 왔다. 대표적인 방법은 가장 간단한 방법으로 연산을 가장 빨리 스케줄 될 대표적인 제어구간에 할당

하는 방식인 ASAP(As Soon As Possible), ASAP방법과 유사하지만 데이터 흐름에 따라 각 연산이 동작. 대표적인 제일 늦은 시간에 각 연산을 할당하는 방법인 ALAP(As Least As Possible)이 있다. 그리고, 시간제한에 가장 일반적으로 사용되는 스케줄링 기법으로 FDS(Force-Directed Scheduling)가 있다. 마지막으로 우선순위 함수에 의해 순차적으로 연산의 동작 시간을 결정하는 방법으로 리스트 스케줄링(list scheduling)방법이 있다.

할당(allocation)은 구현되는 하드웨어 면적이 최소가 되도록 연산을 기능 연산자(functional unit)에, 변수(variable)를 레지스터에 지정하고 레지스터와 연산자 사이의 연결구조(interconnection)로 버스(bus)나 멀티플렉서(multiplexer)를 할당하는 과정이다[10]. 대표적인 방법은 순차적으로 각 시간 구간에서 동작하는 변수와 연산에 대한 하드웨어 자원을 할당하는 그리드 할당(greedy allocation)이 있다. 이는 변수들의 생성 시간이 증가하는 순서로 정렬된다. 정렬된 변수들에 대해 라이프타임(lifetime)을 계산한 후 정렬된 순서로 차례차례 검색하면서 변수 수명이 중첩되지 않는 변수들을 레지스터에 할당하는 left-edge 알고리즘과 그래프 이론을 이용한 접근 방법으로 연산자의 메모리 할당에 적용되는 clique 분할(partition)방법 등이 있다[11, 12].

기존의 할당과 바인딩의 방법으로 HAL[9]시스템은 각 기능 연산자의 형(type)을 한 개로 가정한 상태에서, 기능 연산자의 할당과 스케줄링을 함께 수행하고 clique 분할을 사용하여 레지스터와 연결 구조를 할당 및 바인딩 하였다. Splicer[9] 시스템은 기능 연산자의 수를 미리 정한 상태에서 스케줄링을 수행하고, 상태 경계를 지나가는 최대 데이터 선의 수를 레지스터의 수로 결정하며 branch and bound방법을 사용하여 연결 구조를 최소화하였다. 그러나 splicer 시스템은 기능 연산자와 레지스터의 수를 미리 정한 상태에서 할당과 바인딩을 하였으므로 최적의 설계를 얻을 수 없다. REAL[9]은 left-edge 알고리즘을 이용하여 할당하는데 상호 배타적이지 않은 경우 최소의 레지스터가 할당된다. 그러나 연결구조에 끼치는 영향은 고려하지 않았고, 기능 연산자와 연

결구조 할당은 다를 수 없었다. 기존의 방법은 첫째 레지스터와 기능 연산자의 수와 형을 미리 정했거나, 둘째 할당과 바인딩을 분리하여 수행하였다. 그러므로 기존의 접근 방식들은 최적의 방법이라고 볼 수 없다.

따라서 본 논문에서는 SOC 설계를 위한 동적인 하드웨어 할당과 바인딩을 동시에 수행하고, 각 기능 연산자에 연결된 레지스터 및 연결 구조가 최대한 공유하도록 제어스텝마다 연산과 기억 소자(storage element)의 상호 연결 관계를 고려하여 할당, 바인딩 함으로써 기존의 문제점을 해결함과 동시에 전체 비용을 줄인다.

본 논문의 구성은 1장 서론에 이어 2장에서는 제안한 동적인 할당 및 바인딩 알고리즘을 기술한다. 3장은 비교 실험을 통하여 본 알고리즘의 효율성을 보이고 마지막 4장을 결론으로 구성하였다.

II. 동적인 하드웨어 할당 및 바인딩 알고리즘

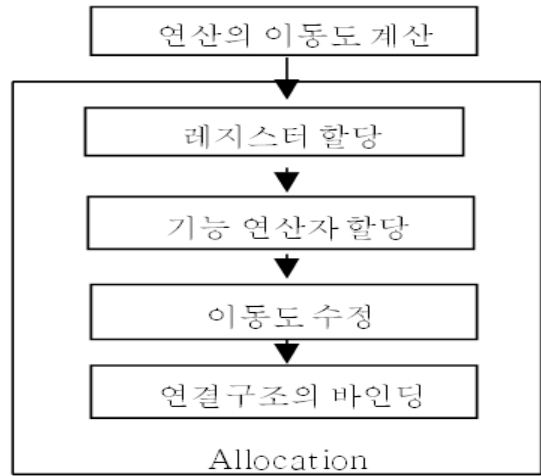
본 논문에서 제안한 동적인 하드웨어 할당 및 바인딩에 대한 알고리즘은 <그림 2>와 같다. 입력은 스케줄링 결과를 받으며 전처리 과정으로 기능 연산자가 할당 및 바인딩 될 모든 연산의 이동도를 계산한다. 연산의 이동도는 데이터의 의존도를 조사하여 구한다. 전 처리 과정에서 각 연산의 이동도를 계산한 후 첫 번째 제어스텝부터 단계별로 레지스터, 기능

```

Input_mobility( ); // 모든 연산의 최대 구간

while(control step) {
    Register_allocate( ); // 레지스터 할당 바인딩
    Function_allocate( ); // 기능 연산자 할당 바인딩
    Mobility_modify( ); // 이동도 수정
    Interconnection_allocate_merge( );
        // 연결 구조 할당 및 바인딩 및 병합
}
    
```

<그림 1> 동적인 하드웨어 할당 및 바인딩 알고리즘
<Fig. 1> Dynamic hardware allocation and binding algorithm



<그림 2> 전체적인 할당과정의 흐름도
<Fig. 2> The overall flow of allocation process

연산자, 연결 구조를 할당 및 바인딩 한다. 이때 한 제어스텝에 대해서 기능 연산자의 할당 및 바인딩이 끝나면 다음 제어스텝들에서 존재하는 연산의 이동도들을 수정한다. 전체 제어 스텝에 대해서 할당 및 바인딩을 수행한 후, 연결 구조 병합을 행한다.

<그림 2>은 본 연구의 전반적인 할당과정의 흐름도이다. <그림 1>의 설명에서도 언급한 바 있지만 레지스터 할당, 기능 연산자 할당, 연결구조 바인딩을 순차적으로 처리한 과정을 도식화하였다.

1. 레지스터 할당과 바인딩

레지스터의 할당 및 바인딩은 단계별 제어스텝마다 다음과 같이 수행한다. 첫 번째 레지스터가 할당 될 형을 분류한다. 즉, 변수 또는 상수 이전의 제어스텝에서 행해진 기능연산자의 출력인지 분류한다. 두 번째, 분류한 형에 따라 레지스터에 할당한다. 변수인 경우 첫 번째 제어스텝이면 새로운 레지스터에 할당하고, 그 다음 제어스텝이면 이전 제어스텝에서 사용한 레지스터를 그대로 할당한다. 상수인 경우 레지스터 할당에서 제외된다. 이전 제어스텝에서 행해진 기능 연산자의 출력인 경우 먼저 다른 연산의 입력인지 조사한다. 다른 연산의 입력인 경우 기능 연산자의 형과 입력을 받는 연산의 형을 고려하여

```

Register_allocate( )
{
    Input_type_search( ); // 입력 값의 형 분류
    if(control_step >1) {
        Register_chart_search( );
        // 이전 제어 스텝에서 할당된 레지스터 파악
        Variable_allocate( );
        // 변수에 레지스터 할당하기
        Out_function_allocate( );
        // 기능 연산자의 출력에 레지스터 할당
        Register_chart( );
        // 레지스터 정보를 지닌 표 작성
    }
}
    
```

<그림 3> 레지스터 할당 및 바인딩 알고리즘
 <Fig. 3> Register allocation and binding allocation

<표 1> 레지스터 표
 <Table 1> Register_chart

CS	레 지 스텐				
1	R1	R2	R3		
2	R1	R2	R3	R4	R5

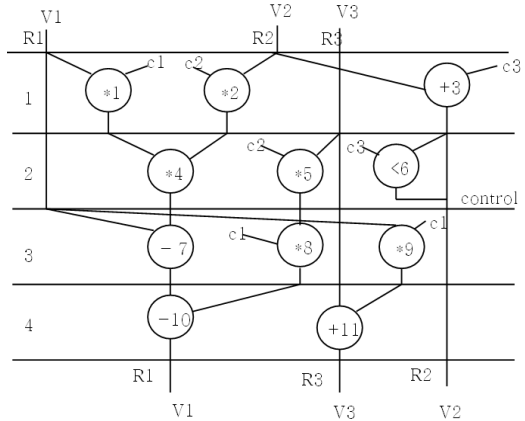
레지스터에 할당한다. 다른 연산의 입력인 경우가 아니면 기능 연산자의 형만을 고려하여 레지스터에 할당한다. 레지스터의 할당과 바인딩 알고리즘은 <그림 3>과 같다.

<표 1>은 제어스텝 1과 제어스텝 2에 해당되는 레지스터 할당을 보여준다.

루프가 존재하는 경우 한 루프의 처음과 끝에 사용되는 레지스터를 동일한 것으로 <그림5>와 같이 할당한다. 다시 말하면, 각각의 변수 V1, V2, V3는 첫 번째 제어스텝에 따라 레지스터 R1, R2, R3로 할당됨과 동시에 루프가 존재하는 즉, 사이클인 경우는 마지막 제어스텝에 동일한 레지스터 각 R1, R3, R2로 할당된다.

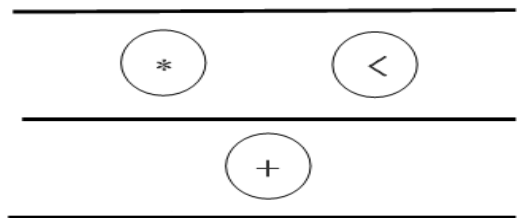
2. 기능연산자의 할당 및 바인딩

레지스터의 할당과 바인딩을 수행한 후, 현재 제어스텝에 존재하는 각 연산에 대해서 기능 연산자를 할당 및 바인딩을 수행한다. 각 연산의 계산된 수행

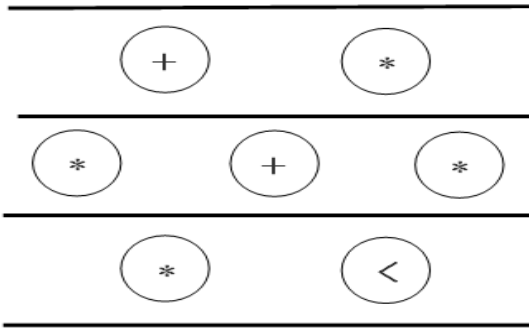


<그림 4> 루프가 포함된 레지스터 할당 및 바인딩
 <Fig. 4> Register allocation and binding for loops

시간을 만족하면서 최대한 작은 면적을 지닌 기능 연산자를 셀 라이브러리에서 선택하기 위해서 기능 연산자를 할당 및 바인딩 할 연산의 다섯 변수 즉, 자체 분포수, 상대 분포수, 자체 고정수, 상대 고정수 및 자체 이동도를 조사한다. 먼저 자체 분포수(self distributed number)는 기능 연산자를 할당하고자 하는 연산과 같은 제어스텝에 있고 같은 형을 지닌 연산의 개수를 나타낸다. 상대 분포수(relative distributed number)는 기능 연산자를 할당하고자 하는 연산과 다른 제어스텝에 있고 같은 형을 지닌 연산의 최대 개수를 나타낸다. 또한 자체 고정수(self fixed number)는 기능 연산자를 할당 하고자 하는 연산의 이동도와 같은 제어스텝에 존재하고 같은 형을 지닌 연산의 이동도를 조사했을 때 이동도가 0인 개수이다. 상대 고정수(relative fixed number)는 기능 연산자를 할당 하고자 하는 연산과 다른 제어스텝에 있고



<그림 5> 자체 분포수의 예
 <Fig. 5> An example of self distributed number



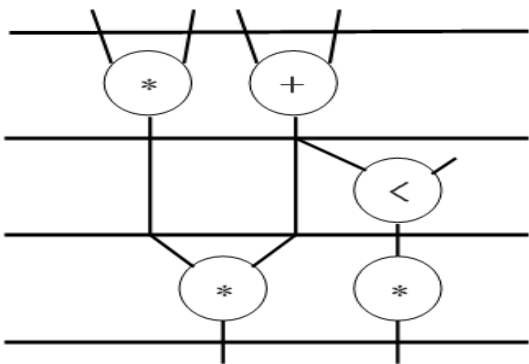
<그림 6> 상대 분포수의 예
 <Fig. 6> An example of relative distributed number

같은 행을 지닌 연산의 이동도를 조사했을 때 한 제어스텝 당 이동도가 0인 최대의 개수이다. 자체 이동도(self mobility)는 기능연산자를 할당하고자 하는 연산의 이동도이다.

<그림 5>는 할당 및 바인딩 할 때 사용되는 자체 분포수를 적용한 것이다. 첫 번째 제어스텝에 존재하는 곱셈 연산의 자체 분포수는 1이다.

<그림 6>은 상대 분포수의 예이다. 첫 번째 제어스텝에 존재하는 곱셈 연산의 상대 분포수는 아래와 같이 결정된다. 두 번째 제어스텝에 존재하는 곱셈 연산의 개수가 2, 세 번째 제어스텝에 존재하는 곱셈 연산의 개수가 1인데 최대값을 취하므로 곱셈 연산의 상대 분포수는 2이다.

<그림 7>은 자체 고정수의 대한 예시이다. 첫 번째 제어스텝에 존재하는 곱셈 연산은 두 번째 제어



<그림 7> 자체 고정수의 예
 <Fig. 7> An example of self fixed number

스텝에서도 수행 가능하므로 이동도는 1이다. 따라서 자체 고정수는 0이다.

기능 연산자를 할당 바인딩 하는 예로 <그림 5>의 비교기(comparator)에 기능 연산자를 할당하는 과정을 살펴본다. 비교기의 초기 입력은 두 번째 제어스텝에 스케줄링이 되었다. 그러나 비교기의 변수들을 조사한 결과 비교기에 두 번째 제어 스텝과 세 번째 제어스텝 즉 두 개의 제어 스텝을 차지하는 기능연산자를 할당하는 것이 가능하다. 다시 말하면 하나의 연산이 복수개의 제어스텝에 걸쳐 있는 멀티사이클링(multi-cycling)이다.

그러므로 셀 라이브러리 상에서 지연시간이 고정 시간과 같고, 가능한 작은 면적을 지닌 기능연산자를 선택하여 비교기에 할당한다. 고정시간이란 두 개의 제어스텝의 시간에서 연결구조 지연시간과 레지스터 지연시간을 제외한 시간을 말한다. 기능연산자의 할당과 바인딩 알고리즘은 <그림 8>과 같다.

전체적인 기능 연산자와 레지스터의 테이블(Function_register_chart)은 <표 2>와 같다. 예를 들어 첫 번째 제어스텝에서 기능 연산자 FU1(*)은 인덱스가 1이고, 각각 R1과 c1을 입력으로 받는다.

첫 번째 제어스텝인 경우는 자체 분포수, 자체 고정수, 자체 이동도, 상대 분포수를 고려하여 기능 연

```

Function_allocate( )
{
    if (control step ==1)
        Survey_four_variables;
        // 자체 분포수, 자체 고정수, 상대 분포수,
        // 상대 고정수 조사
    if(같은 연산 && 같은 이동도)
    {
        Existed_function_allocate( );
        // 기존에 존재한 기능연산자를 연산에 할당
        Function_unit_allocate( );
        // 기능 연산자 할당
        Function_register_chart( );
        // 기능 연산자와 레지스터 정보를 지닌 표
    } // End of if
}
    
```

<그림 8> 기능연산자의 할당 및 바인딩 알고리즘
 <Fig. 8> Functional unit allocation and binding algorithm

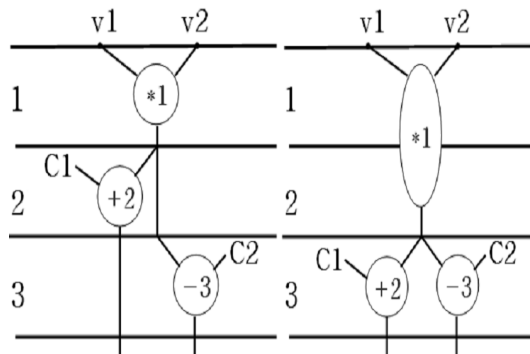
<표 2> 레지스터 표
<Table 2> Register_chart

	FU1(*)			FU2 (*)			FU3 (+)			FU4 (<)			FU5 (-)		
	op	a	b	op	a	b	op	a	b	op	a	b	op	a	b
S1	1	R1	c1	2	c2	R2	3	R3	c1						
S2	4	R4	R5	5	c2	R3				6	R2	c3			
S3	8	c1	R5	9	R1	c1							7	R1	R4
S4							11	R3	R5				10	R1	R4

산자를 할당한다. 그 다음 제어스텝부터는 먼저 존재한 연산에 기능 연산자를 조사한다. 만약, 기능 연산자를 할당할 연산에 적합한 기능 연산자가 존재하면 그대로 할당하고, 존재하지 않으면 위의 다섯 변수를 조사하여 기능 연산자를 할당한다.

3. 이동도 수정 단계

연산에 기능 연산자를 할당할 때 복수개의 제어스텝을 이용하는 멀티사이클링(multi-cycling)을 이용한 경우 그 연산에 매달린 모든 연산에 대해서 이동도를 조정한다. 복수개의 제어스텝은 라이브러리 상에서 딜레이 교정시간과 같다. 예로 <그림 10>(a)에서 *1은 자체 분포수가 1, 자체 이동도가 2이고 자체 고정수, 상대 분포수, 상대 고정수가 모두 0이므로 복수개의 제어스텝을 이용하여 기능 연산자를 할당 및

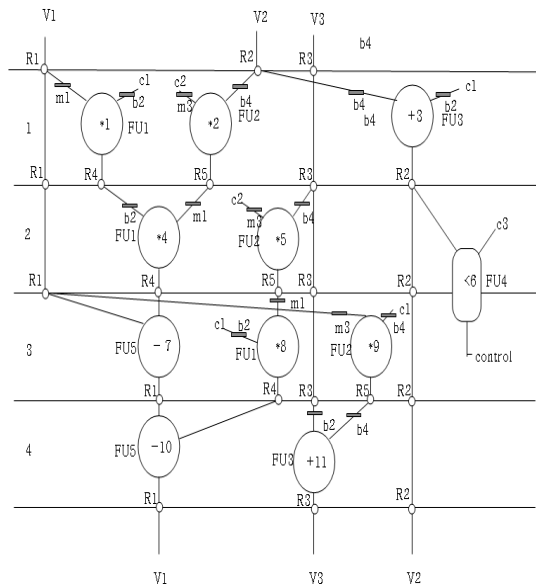


<그림 9> 이동도 수정의 예
(a) 이동도 수정 전 (b) 이동도 수정 후
<Fig. 9> A example of modification the mobility
(a) Before the modification of mobility
(b) After the modification of mobility

바인딩 한다. 따라서 *1의 출력을 받는 +2는 이동도가 1에서 0으로 바뀐다. <그림 9>의 (b)는 할당 및 바인딩 된 결과이다.

4. 연결 구조의 할당 및 바인딩

기능 연산자의 할당 및 바인딩을 수행한 후, 연결 구조의 할당 및 바인딩을 수행한다. 첫 번째, 제어스텝인 경우 각 연산에 대해 새로운 멀티플렉서를 할당한다. 두 번째, 제어스텝부터는 기능 연산자의 형과 입력 형을 조사하여 가능한 같은 형을 찾아 멀티플렉서를 할당한다. 세 번째, 멀티플렉서의 입력 수를 조사한다. 한 개인 경우 멀티플렉서를 생략하고, 한 개가 아닌 경우 각 멀티플렉서의 제어스텝을 조사한다. 제어스텝이 서로 중복되지 않거나, 중복이 되어도 입력 값이 동일하면 병합한다. 이때 병합한 멀티플렉서는 버스로 대칭한다. 실제적인 예로 <그림 9>를 보면, 두 번째 제어스텝에 존재하는 *5와 첫 번째 제어스텝에 존재하는 *2는 같은 기능 연산자 (FU2)에 할당 및 바인딩 되었다. 그러므로 *5의 연결 구조는 *2의 연결구조와 같은 것으로 할당 및 바인



<그림 10> 전체적인 할당 바인딩의 결과
<Fig. 10> The overall results of assigned binding

당 한다. 이 때 두 개의 연결구조에 대한 구별된 할당 및 바인딩은 형을 고려하여 수행한다. <그림 10>은 전체적인 레지스터, 기능 연산자, 연결구조의 할당 바인딩의 결과이다.

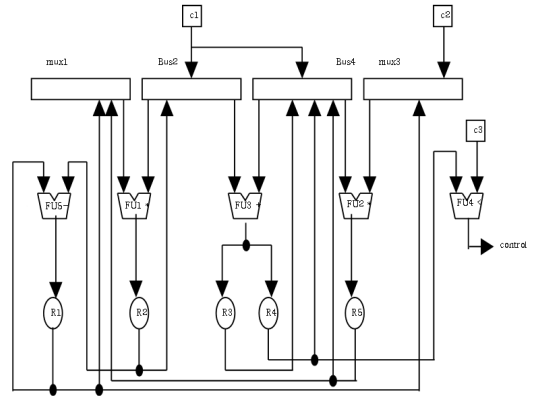
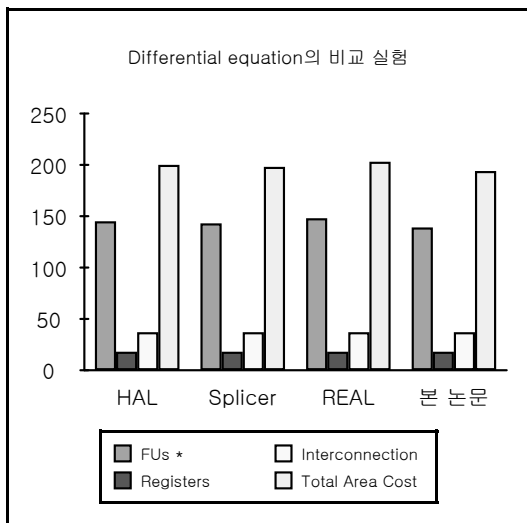
III. 실험 결과

본 논문의 알고리즘은 Sun SPARC 시스템에서 구현하였으며, HAL, Splicer, REAL시스템의 결과와 차례로 비교하였다. 정확한 비교를 위하여 HAL시스템에서 사용한 force directed scheduling을 적용하여 나온 결과를 입력으로 받는다. 또한 본 논문의 실험은 표준 벤치마크 모델인 HLSW-92 (High-Level Synthesis Workshop 92)를 채택하였다.

1. 미분 방정식을 이용한 실험

<표 3>은 미분방정식(Differential equation)에 대한 면적 비용을 비교한 결과이다. 본 알고리즘을 적용시킨 결과 상위 레벨 합성 중 기존의 기능 연산자의 수를 미리 정했거나 할당과 바인딩을 분리하여 수행한 HAL시스템은 4.2%, Splicer시스템은 2.8%, REAL시스템은 6.1%로 줄어들어서 전체 면적 비용이 줄어

<표 3> 미분방정식에 대한 실험 결과
<Table 3> The experimental result for differential equation



<그림 11> 미분방정식의 데이터 경로
<Fig. 11> Data path of differential equation

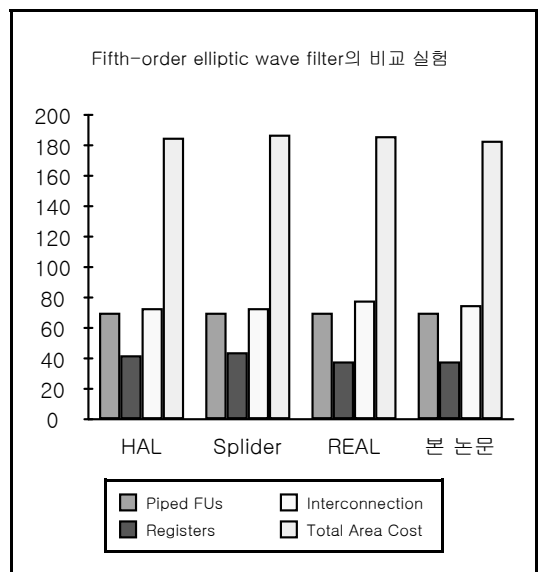
드는 효과를 얻을 수 있었다.

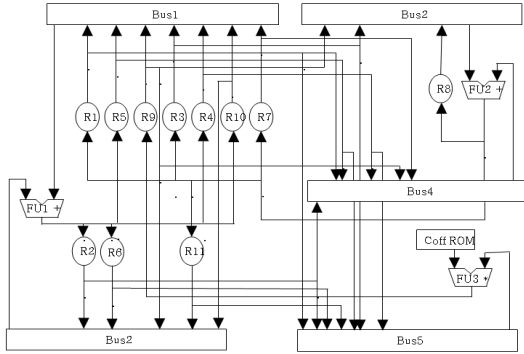
<그림 11>는 미분 방정식에 대한 결과를 보여준다.

2. 5차 웨이브 필터를 적용한 실험

<표 4>는 5차 웨이브 필터(fifth-order elliptic wave filter)에 대한 면적 비용을 미분 방정식에서와 같이 각 시스템과 비교한 결과이다.

<표 4> 5차 웨이브 필터에 대한 실험결과
<Table 4> The experimental result for the Fifth-order elliptic wave filter





<그림 12> 5차 웨이브 필터의 데이터 경로
 <Fig. 12> Data path of Fifth-order elliptic wave filter

기능 연산자의 비용은 동일하고 연결 구조의 비용은 다소 증가하였다. 그러나, IC 설계 시 레이아웃 설계에서의 배선 영역 연결구조는 상위 레벨에서는 고려하지 않으므로 큰 문제는 되지 않는다. 또한 레지스터의 비용이 본 논문의 알고리즘을 적용한 결과 HAL시스템 보다 9.6%, Splicer 시스템에서는 13.7% 줄어들어, 결과적으로 전체 면적 비용이 줄어들었다.

<그림 12>는 5차 웨이브 필터에 대한 결과를 보여준다.

IV. 결 론

본 논문에서는 SOC 설계를 위한 동적인 하드웨어 할당 및 바인딩 알고리즘을 제안한다.

본 논문에서 제안한 알고리즘은 다음과 같은 특징을 가지고 수행된다. 첫 번째 제어스텝부터 단계별로 레지스터, 기능연산자, 연결 구조를 할당 및 바인딩을 수행한 후 연결 구조 병합을 행한다. 종속 관계에 있는 할당과 바인딩을 동시에 수행함으로써, 성능 평가를 위한 비교 실험결과에서 볼 수 있듯이 전체 면적 비용의 감소를 보여주었다.

결과적으로 기존의 연산자의 수를 미리 정했거나 할당과 바인딩을 분리하여 수행한 방식보다 작은 전체 칩 면적비용을 얻을 수 있었다. 그리고 상위 레벨 합성 기술의 궁극적 목표인 주어진 하드웨어 비용 함수 값이 최소가 되도록 하는 효율성을 보였다.

또한 향후 연구 과제로는 SOC 설계를 위한 동적

인 하드웨어 할당 및 바인딩 알고리즘을 바탕으로 합성 결과에 대한 예측과 평가에 대한 연구가 계속되어야 하겠다.

참 고 문 헌

- [1] E. S. Kuh, and T. Ohtuski, "Recent advance in VLSI layout," *Proc. IEEE*, vol. 78, no. 2, pp. 237-263, Feb. 1990.
- [2] S. Huang, C. Cheng, Y. Ni, and W. Yu, "Resister binding for clock period minimization," *Proc. Design Automation Conf.*, pp. 439-444, July 2006.
- [3] L. Liu, T. Chou, A. Aziz, and D. F. Wong, "Zero-skew clock tree construction by simultaneous, wire sizing and buffer insertion," *Proc. Int. Society for Peritoneal Dialysis*, pp. 33-38, 2000.
- [4] K. Ravindran, A. Kuehlmann, and E. Sentovich. "Multi-domain clock skew scheduling," *Proc. Int. Conf. Computer-Aided Design*, pp. 801-805, Nov. 2003.
- [5] Q. Zhao, C. A. J. van Eijk, C. A. Alba Pinto, and J. A. G. Jess, "Register binding for predicated execution in dsp application," *Proc. Int. Symp. Circuits and Systems*, pp. 113-117, Sept. 2000.
- [6] E. S. Kuh, and T. Ohtuski, "Recent advance in VLSI layout," *Proc. IEEE*, vol. 78, no. 2, pp. 237-263, Feb. 1990.
- [7] M. C. McFarl, A. C. Paker, and R. Camposano, "The high-level synthesis of the digital system," *Proc. IEEE*, vol. 8, no. 2, pp. 301-318, Feb. 1990.
- [8] R. Camposano, "From behavior to structure: high-level synthesis," *IEEE Design & Test of Computer*, vol. 7, no. 5, pp. 8-19, Oct. 1990.
- [9] D. G. Daniel, D. D. Nikil, and C. H. W. Allen, *High-Level Synthesis : Introduction to Chip and System Design*, Kluwer Academic Publishers, Boston, 1992.
- [10] J. R. Armstrong and F. G. Gray, *Structured Logic*

- Design with VHDL*, Prentice-Hall, Inc., pp. 231-254, 1993.
- [11] P. Paulin, J. Knight, and E. Girczyc, "HAL: A multi-paradigm approach to automatic data path synthesis," *Proc. Design Automation Conf.*, pp. 263-270, June 1986.
- [12] B. Pangrle, "Splicer : A heuristic approach to connectivity binding," *Proc. Design Automation Conf.*, pp. 536-541, June 1988.

저자소개



엄 경 민 (Eom, Kyung-Min)

2000년 : 세명대학교 컴퓨터과학과 이학사
2002년 : 세명대학교 대학원 교육학 석사
2003년 ~ 현재 : 화성고등학교 교사
2009년 세명대학교 대학원 전산정보학과 박사과정 수료(컴퓨터학 전공)



인 치 호 (Lin, Chi-Ho)

1985년 : 한양대학교 공과대학 전자공학과 공학사
1987년 : 한양대학교 대학원 공학석사(CAD 전공)
1996년 : 한양대학교 대학원 공학박사(CAD 전공)
1992년 ~ 현재 : 세명대학교 컴퓨터학부 교수